

## Ga<sub>2</sub>O<sub>3</sub> 침가에 따른 다성분계 Optical

### Glass Fiber의 특성에 관한 연구

The Study on Properties of Multicomponent

Optical Glass Fiber by Adding Ga<sub>2</sub>O

윤상하\*  
강원호

단국대학교 재료공학과  
단국대학교 재료공학과

Sang-ha Yun  
Won-ho Kang

Dept. of Mater. Sci & Eng., Dankook Univ.  
Dept. of Mater. Sci & Eng., Dankook Univ.

### Abstract

In this study, the thermal and optical properties of multicomponent glass optical fiber by adding heavy metal oxide Ga<sub>2</sub>O<sub>3</sub> were investigated.

The fiber samples were made by rod in tube method. The optical loss of fiber was measured in 0.3~1.8/ $\mu$ m wavelength region. As Ga<sub>2</sub>O<sub>3</sub> increased up to 20wt%, the transition and softening temperature of bulk glass were increased from 495°C to 579°C and from 548°C to 641°C respectively. Whereas the thermal expansion coefficient was decreased from 102 to  $79.1 \times 10^{-7}/^{\circ}\text{C}$ . The refractive index was increased from 1.621 to 1.665, and IR cut-off wavelength was enlarged from 4.64/ $\mu$ m to 6.1/ $\mu$ m. The optical loss of fiber was decreased and more remarkably decreased in 1.146/ $\mu$ m~1.8/ $\mu$ m wavelength region.

### I. 서 론

실리카계의 광학은 절 발달된 기술로서 통신, 의학, 산업 전반에 주로 영향을 미치고 있고 정파장의 적외선을 이용한 sensing, imaging 및 laser 광산업 등에 대한 연구가 활발하게 이루어 지면서, 파장 3/ $\mu$ m 이상의 적외선 파장영역에 대한 투과도가 높은 재료의 개발이 시급한 과제로 떠오르고 있다.<sup>1)</sup>

전통적인 silica 유리는 질량이 작은 원소로 이루어져 있어 원소 간의 진동(vibration)에 의한 빛의 공명 현상(resonance) 때문에 3/ $\mu$ m 이상의 적외선 영역의 빛은 강한 흡수 현상을 나타내게 된다. 따라서 이러한 silica 유리 재료가 갖는 광학적 한계를 극복할 수 있는 새로운 재료에 대한 연구가 80년대 후반부터 활발히 진행되기 시작하였다. 이 중 대표적인 재료로는 fluorozirconate계 유리<sup>2)</sup>,

chalcogenide계 유리<sup>3)</sup>, 및 heavy metal oxide계 유리<sup>4)</sup> 등을 들 수 있다. 그러나 이 유리들은 높은 용융온도와 유리 형성영역이 극히 제한되어 있어 fiber 제조시 실투가 일어나 대량 생산이 곤란하다는 단점이 있다. 따라서 SiO<sub>2</sub>, BaO와 PbO를 주성분으로 하고 K<sub>2</sub>O, Na<sub>2</sub>O, B<sub>2</sub>O<sub>3</sub>, Al<sub>2</sub>O<sub>3</sub> 등의 산화물을 적량 배합한 유리 재료로 제작된 다성분계 광섬유는 fluorozirconate계 유리, chalcogenide계 유리, 및 heavy metal oxide계 유리보다는 적외선 영역의 투과도는 떨어지지만 silica로 재작된 광섬유 보다 훨씬 낮은 연화점을 가지고 fiber 제조가 용이한 이중 도가니법이나 rod in tube법으로 제작이 가능하다. 또한 core와 clad의 굴절율차를 크게 할 수 있으므로 silica로 제작된 광통신용 fiber의 용·용분야를 대신하여 의료분야의 광섬유 스코프, 물체 감지를 위한 센서용 광섬유, light guide용 광섬유등의 광범위한 분야에 큰 역할을 해 오고 있다.

다성분계 glass fiber의 광 투과율은 fiber의 재료 및 질이 그리고 사용 광원에 의해 결정되는데, 재료면에서는 재래의 소재 범위를 벗어나지 못하고 있어, 투과 시킬 수 있는 파장 영역이 근적외선 파장 영역으로 제한되기 때문에 보다 넓은 파장 영역의 광을 투과시켜 근적외선 영역 파장을 확장하기 위해서는 중금속 이온을 치환함으로써 가능하다.<sup>5)</sup> 이것은 비교적 가벼운 전통적 유리 형성 양이온들을 중금속 이온들로 대체 함으로써 고유 진동수를 감소시키고, 빛의 공명 현상을 장파장쪽으로 이동하게 된다. 결국 multiphonon absorption edge가 장파장 쪽으로 이동하게 된다.

따라서 Pb 함유 다성분계 유리는 고굴절율과 낮은 산란 손실을 갖으면서 4/ $\mu$ m라는 근적외선 파장영역을 투과시키는 유리로 상업적으로 광학재료에 널리 이용되고 있다. 이에 본 연구는 실리카 광섬유가 투과시킬 수 있는 파장이

$3/\mu\text{m}$ 로 제한되기 때문에 보다 넓은 파장영역의 광을 투과시키기 위해 극적외선 광장영역용 파이프로서 사용할 수 있는 다성분계 산화물로 구성된  $\text{SiO}_2\text{-PbO-K}_2\text{O-Al}_2\text{O}_3$  계에 중금속산화물,  $\text{Ga}_2\text{O}_3$ 를 첨가하여 첨가량에 따른 bulk 유리의 열적 성질, 밀도, 굴절율 및 IR 영역에서의 투과특성에 미치는 영향을 조사하고 평손실이 작은 optical fiber를 제조하는데 목적이 있다.

## II. 실험

### 2. 1 유리의 제조

다성분계 glass optical fiber의 core 유리 조성으로는  $\text{SiO}_2$ (45wt%),  $\text{PbO}$ (45wt%),  $\text{K}_2\text{O}$ (5wt%),  $\text{Al}_2\text{O}_3$ (5wt%)를 채택하였으며, 이 조성에 중금속 산화물  $\text{Ga}_2\text{O}_3$ 을 0, 4, 8, 12, 16, 20wt% 첨가하였다.

$\text{SiO}_2$  조성은 유리의 골격을 형성하는 역할을 하고,  $\text{PbO}$ 는 굴절율을 증가시키고, 빛의 산란을 감소시키는 유리를 만드는데 꼭 필요한 조성이다.  $\text{Al}_2\text{O}_3$ 는 실크방지와 내수성을 증가시키는 작용을 한다.

유리의 화학적 조성은 표 1에 나타내었고, 전반적인 실험과정은 그림 1에 도식적으로 나타내었다. 표 1의 조성을 일본 고순도 화학 연구소(주)의 순도 extra pure 99.9%  $\text{SiO}_2$ , 99.9%  $\text{PbO}$ , 99.9%  $\text{K}_2\text{CO}_3$ , 99.9%  $\text{Al(OH)}_3$ 과 미국 CERAC의 99.99%  $\text{Ga}_2\text{O}_3$ 을 선정하여 각각의 시료를 조성에 따라 electro-balance (정밀감도  $1 \times 10^{-4}\text{g}$ )로 정확히 무게를 측정한 후 V-mixer로 30분간 혼합하였다. 그리고 melting schedule(그림 3)은  $\text{Ga}_2\text{O}_3$  4wt% batch의 DT-TG분석(그림 2)을 통하여 탄산염의 분해 반응이 일어나는 800°C에서 30분간 저온 시킨 후  $10^\circ\text{C}/\text{min}$ 의 속도로 1500°C 까지 올라온 후 1시간 유지시키고, 기포를 제거하기 위하여 1450°C에서 30분간 유지시킨 후 용융물을 가열된 흑연판 위에 부어 냉각시킨 bulk glass를 제조하였다. 본 실험의 경우 실리카나 알루미나 등의 산화물 도가니는 용융시 불순물이 혼입으로 적외선 투과도에 치명적인 악영향을 미치게 되므로 배금 도가니를 사용하여 이를 최소화 하였다.

### 2. 2 열적 특성

제조된 bulk glass를 지름 5Φ, 길이 20mm rod 형태의 사편을 가공하여 승온속도  $10^\circ\text{C}/\text{min}$ 으로 Rigaku사의 TMA(TAS 100)를 사용하여 각 bulk glass의 전이온도, 연화온도와 열팽창계수를 측정하였으며, 표준시료는 Quartz를 사용하였다. 열팽창계수는 온도에 따라 값이 변화지 않는 30~300°C 온도범위에서 측정하였으며, 계산식은 다음식을 이용하여 구하였다.

$$\alpha_{30-300} = \Delta L/L \Delta T + Q$$

여기서 L : 상온에서 유리시편의 길이 (cm)

ΔL: 가열에 의한 길이의 변화

ΔT: 시료이 길이변화를 측정한 온도차

$$Q : 5.7 \times 10^{-7}/^\circ\text{C}$$

### 2. 3 굴절율 측정

굴절율은 Abbe refractometer를 이용하여 Sodium D-line 광장 589.3nm에 대한 굴절율  $n_D$ 를 측정하였다.<sup>6)</sup> 이 때 시편은  $12 \times 10 \times 10\text{mm}^3$ 정도의 크기로 절단하고 표면에서의 산란 및 반사에 의한 흐과를 제거하기 위하여 최대한 시편의 면을 평활하게 하고 Aluminar powder( $0.5\mu\text{m}$ )로 최종 연마하여 측정하였다. 굴절율 측정 후 광 fiber core로

유도되는 빛의 세기를 알아보기 위한 최도인 이론적 N.A.(numerical aperture)를 다음의 식으로 산출하였다.

$$\text{N.A.} = (n_1^2 - n_2^2)^{1/2}$$

여기서  $n_1$ 은 core의 굴절율이고,  $n_2$ 는 clad의 굴절율이다.

### 2. 4 적외선 투과도 측정

$\text{Ga}_2\text{O}_3$  첨가량에 따른 적외선의 변화를 조사하기 위하여  $5 \times 8 \times 1\text{mm}^3$ 의 크기로 가공하여 반사에 의한 손실을 최대한 줄이기 위해<sup>7)</sup> 경면 연마한 후 FT-IR (FT40, Digilab사)을 사용하여  $400\text{-}4000\text{cm}^{-1}$ 의 광장 영역에서 투과도를 조사하였다. 흡수 계수는 특정 광장에서 Beer-Lambert법칙을 이용하여 계산하였다. 빛이 물질에 입사되었을 때 반사, 투과 및 흡수의 세가지 현상이 일어나는데 최대한 시편 표면의 평활도를 유지하고 표준물질을 사용하면 반사에 의한 손실을 최소로 줄이거나 상쇄시킬 수 있다. 따라서 측정 가능한 것은 투과 및 흡수에 의한 빛의 세기 변화이다.

투과도는 시료의 두께에 따라 지수적으로 변화하기 때문에 두께의 차이로 인한 효과를 배제하기 위하여  $1\text{mm}$ 로 동일하게 가공하여 실험을 행하였다.

### 2. 5 Fiber의 제조

일정한 직경을 가지는 fiber를 제조하기 위하여 본 실험에서는 rod in tube법을 채택하였다.<sup>8)</sup> Core rod는 용융유리를 예열된 metal mold에 부은 후 30초 정도 경과 후 털형하여 제작하였고, clad는 표 2에 나타낸 화학적 조성과 특성을 갖는 tube glass로 제조된 core rod에 알맞은 크기의 tube를 사용하였다. 그림 4는 fiber를 제조하기 위한 rod in tube drawing 장치의 모식도를 나타낸 그림이다. Rod in tube preform glass를 전기로 내로 수직으로 하강시키면서 rubber roller로 drawing시켜 fiber를 제조하였다.

### 2. 6 광손실(Optical loss) 측정

제조된 fiber의  $\text{Ga}_2\text{O}_3$  첨가량에 따른 optical loss 변화를 살펴보자 output level이  $-45\text{dBm}$ 의 광량을 갖는 Ando사 White Light Source(AQ-4303B)와 Anritsu사 Optical Spectrum Analyzer(MV02)를 사용하여  $0.3\text{-}1.8/\mu\text{m}$  광장 영역에서 fiber의 optical loss를 측정하였다.

## III. 결과 및 고찰

### 3. 1 열적 특성

그림 5는  $\text{Ga}_2\text{O}_3$  첨가에 따른 TMA 곡선이다. 그림 6, 7에 나타난 바와 같이  $\text{Ga}_2\text{O}_3$ 를 첨가하지 않은 경우 전이온도( $T_g$ )와 연화온도( $M_g$ )는  $495^\circ\text{C}$ 와  $548^\circ\text{C}$ 에서 20wt% 첨가시 각각  $579^\circ\text{C}$ 와  $641^\circ\text{C}$ 로 증가하였다. 또한 열팽창계수는  $\text{Ga}_2\text{O}_3$  첨가량이 단계적으로 증가함에 따라  $102 \times 10^{-7}/^\circ\text{C}$ 에서  $79.1 \times 10^{-7}/^\circ\text{C}$ 로 감소함을 나타내고 있다(그림 8). 이러한 현상은 첫째, 기본 조성에서  $\text{PbO}$ 의 함량이 45wt%로  $\text{Pb}^{2+}$ 이온은 Si-O-Pb 결합을 형성하여 중간재로 작용한다. 그러나  $\text{Ga}_2\text{O}_3$  함량이 증가함에 따라  $\text{Ga}^{3+}$  이온은  $\text{GaO}_4^-$  사면체의 형태를 가지며 이로 인하여  $\text{Pb}^{2+}$ 이온의 일부는 2개의  $\text{GaO}_4^-$  사면체와 전기 중성도를 유지하기 위해 전하 보상제로 작용하여<sup>9)</sup>,  $\text{Ga}^{3+}$  이온이 산소와의 tetrahedral 배위인 망목사면체와  $\text{Pb}^{2+}$  이온간의 결합력 강화에<sup>10)</sup> 기인한 것으로 판단된다. 둘째, Glass의 열적 특성

인 전이온도, 연화온도와 열팽창계수는 Ga와 alkali 이온비에 의존한다는 Lapp와 Shelby 이론<sup>11)</sup>으로 설명될 수 있다.  $\text{Ga}_2\text{O}_3$ 의 초기 침가량(Ga/K < 0.5)에서는  $\text{Ga}_2\text{O}_3$ 가 망목수식 제와 망목형성제 자리에 위치하지만 침가량이 증가할수록 (0.5 < Ga/K < 1.1~1.2)점차적으로 망목형성제로 작용하여 cross-linked한 구조를 가지게 됨으로서 상기의 열적 특성을 나타낸 것으로 생각된다. 본 조성에서는 PbO 함량이 다량인 것으로 보아 전자의 현상이 보다 더 우세한 것으로 사료된다.

### 3. 2 굴절율 조사

Abbe refractometer를 이용하여 Sodium D-line 파장인 589.3nm에서의 굴절율(n<sub>n</sub>)을 측정한 결과 그림 9에 보인 바와 같이  $\text{Ga}_2\text{O}_3$  침가량이 0~20wt%로 단계적으로 증가함에 따라 1.621에서 1.671로 증가하는 경향을 나타내고 있다. 일반적으로 산화물 유리에서는 양이온보다 음이온인 산소이온의 분극률이 매우 커 조성변화시 유리 1몰중의 산소수에서 굴절율은 분극률에 비례하고, 구조의 치밀 충진 정도를 나타내는 몰 체적이 감소하면 굴절률은 키지게 된다.<sup>12),13)</sup> 따라서 분극률이 큰  $\text{Ga}^{3+}$ 이온의 증가로 인해 굴절률이 증가하는 주된 요인으로 작용하는 것으로 판단된다. 또한 core glass의 굴절율 증가에 따른 N. A.값도 증가함을 볼 수 있다(그림 10). 이것은  $\text{Ga}_2\text{O}_3$  침가량이 증가함에 따라 광 fiber core로 유도되는 빛의 세기가 증가하여 광원으로 부터 출사되는 빛의 많은 부분을 광 fiber로 유도시킬 수 있다는 것을 이론적으로 알 수 있다.

### 3. 3 적외선 투과도 조사

그림 11은  $\text{Ga}_2\text{O}_3$  침가량 증가에 따른 적외선 스펙트럼으로  $\text{Ga}_2\text{O}_3$  침가량 0~20wt%로 증가함에 따른 적외선 투과도를 나타낸 것이다. 일반적으로 multiphonon 흡수 현상에 기인하는 적외선 흡수단은 본 실험에서는 2300~1800cm<sup>-1</sup>의 영역에서 나타남을 확인 할 수 있었다. 그림 12은 그림 11의 적외선 스펙트럼을 통하여 최대 투과도의 50%에 해당하는 적외선 투과한계파장(Infrared transmission cut-off wavelength,  $\lambda_{T=50}$ )이  $\text{Ga}_2\text{O}_3$  침가량이 증가함으로 인해 4.64~6.1μm로 점차 장파장 영역으로 이동하는 것을 확인 할 수 있었다. 적외선 투과도는 시편의 두께와 표면 연마 상태에 따라 달라지므로 이를 배제하기 위해 아래식의 Beer Lambert법칙을 이용하여 특정 파장에서의 흡수계수를 산출하여 그림 13에 나타내었다.<sup>14),15)</sup>

$$T = \frac{I}{I_0} = \exp(-\alpha x)$$

이기서, T : 투과도 (Transmittance)

I : 입사광의 세기

$I_0$  : 투과광의 세기

$\alpha$  : 흡수계수 (Absorption coefficient)

x : 시료의 두께

그림 13에서 보는 바와 같이 4.7μm이하에서는 비교적 낮은 흡수 계수를 보이나 그 이상의 파장 영역에서는 매우 급격히 증가함을 볼 수 있다. 이것은 적외선 투과도가 multiphonon 흡수 현상으로 감소함을 알 수 있다. 또한 특정 파장에서 흡수 계수가  $\text{Ga}_2\text{O}_3$  침가량이 증가함에 따라 감소하는 것으로 보아  $\text{Ga}_2\text{O}_3$ 가 적외선 투과도를 증진시키는 것을 확인 할 수 있었다.

### 3. 4 Fiber의 제조

Clad로 이용된 Pb 함유 tube glass의 물성 측정 결과 연화온도는 615°C, 열팽창계수는  $94 \times 10^{-7}/\text{°C}$ 로 표 2에 나타내었다. Rod in tube법으로 제조된 fiber의 직경은 drawing 속도와 로의 온도를 변화시켜 결정하였다(표 3). 가장 적절한 fiber 직경(125μm)은 820°C에서 2.5m/min의 drawing 속도로 행해질 때 얻을 수 있었다. 제조된 fiber의 core와 clad를 확인하기 위하여 편광 현미경을 이용하여 관찰하였다. 사진 1, 2는 fiber의 측면과 단면을 관찰한 것이다. Core의 크기가 70μm정도인 것을 확인 할 수 있었다.

### 3. 5 광손실(Optical loss) 조사

직경 125~150μm, 길이 10m정도인 fiber의  $\text{Ga}_2\text{O}_3$  침가량에 따른 optical loss의 변화를 그림 14에 나타내었다. 측정 파장은 0.3μm에서 1.8μm 파장 영역으로 하였으며 측정 값은 광량의 단위인 dBm으로 측정하였다. 광손실량이 가장 낮은 1.146μm에서의  $\text{Ga}_2\text{O}_3$  침가량에 따른 광량을 그림 15에 나타내었다.  $\text{Ga}_2\text{O}_3$  침가량이 0~20wt%까지 증가함에 따라 최대 peak를 나타내는 1.146μm에서의 광량이 -59.2dBm에서 -50.9dBm으로 점차 증가하는 것으로 보아 optical loss가 감소됨을 알 수 있다. 또한 주목할 만한 것은 1.146μm 파장영역 이상에서  $\text{Ga}_2\text{O}_3$  침가량에 따른 광량의 증기폭이 큰 것으로 보아 1.146μm 파장영역 이상에서 optical loss의 감소에 대한  $\text{Ga}_2\text{O}_3$ 의 효과가 더 큰 것을 확인 할 수 있었다(그림 16).

## IV. 결 론

$\text{SiO}_2\text{-PbO-K}_2\text{O-Al}_2\text{O}_3$  다성분계 유리에  $\text{Ga}_2\text{O}_3$ 를 0, 4, 8, 12, 16, 20wt%로 단계적으로 침가하여 제조된 core bulk glass의 특성과 rod in tube법으로 제조된 fiber의 광손실 특성을 조사하여 다음과 같은 결론을 얻었다.

1)  $\text{Ga}_2\text{O}_3$  침가량이 증가함에 따라 core bulk glass의 열적 특성인 전이온도와 연화온도는 각각 495~579°C, 548~641°C로 증가하였고, 열팽창계수는  $102\sim79.1 \times 10^{-7}/\text{°C}$ 로 감소하였다.

2) Fiber제조시 clad glass과 core glass의 matching은 연화온도와 열팽창계수를 고려해 볼 때 8, 12wt%  $\text{Ga}_2\text{O}_3$ 가 침가된 조성에서 최적이었다.

3)  $\text{Ga}_2\text{O}_3$  침가량이 증가함에 따라 core bulk glass의 광학적 특성으로 굴절율은 1.621에서 1.671로 N.A.값은 0.436에서 0.578로 증가하였다.

4) 적외선 투과파장영역은 장파장쪽으로 이동하는 경향을 나타내었다. IR cut off 파장은 4.64μm에서 6.1μm로 IR 투과 영역이 확장되었고, IR 흡수상수는 감소함을 알 수 있었다.

5) 가장 적절한 fiber 직경(125μm)은 820°C에서 2.5m/min의 drawing 속도로 행해질 때 얻을 수 있었다.

6) Fiber의 optical loss는 0.3~1.8μm 파장영역에서  $\text{Ga}_2\text{O}_3$  침가량이 0~20wt%까지 증가함에 따라 감소하였고, 1.146μm에서 가장 낮은 광손실을 나타내었다. 1.146μm~1.8μm 파장 영역에서 광손실의 감소경향이 보다 현저히 나타남을 알 수 있었다.

## 참 고 문 헌

- Laurel M. Sheppard, "Optical Fiber and Glass Technology", Am. Ceram. Soc. Bull., Vol. 72, No. 8, Aug. (1993)
- Matin G. Drexhage, Treatise on Material Science and Technology, Academics Press, Inc., Vol. 26, 151 (1985)
- J. A. Savage, J. Non-Cryst. Solids, 47, 101 (1982)
- W. H. Dumbaugh, Phys. and Chem. Glasses, 27, 119 (1986)
- Tadashi Miyashita and Toyotaka Manabe, "Infrared Optical Fiber", Journal of Quantum Electronics, Vol. 18, No. 10, 1432-1450 (1982)
- S. Shibata, S. Mitache and S. Takahashi, "High numerical apeture multicompont glass fiber" Applied Optical, Vol. 19, No. 9, 1 May. (1980)
- Nazanin Sahba, "Infrared Absorption Coefficients of Silicate Glasses", J. Am. Ceram. Soc., 75[1] 209-12 (1992)
- J. B. MacChesney and D. J. Digiovanni, "Materials Development of optical fiber", J. Am. Ceram. Soc., 73[12] 3537-56 (1990)
- 김준곤, 허종, 김유성, "PbO-Bi<sub>2</sub>O<sub>3</sub>-Ga<sub>2</sub>O<sub>3</sub>계 적외선 투파유리의 제조 및 특성" J. Kor. Ceram. Soc., Vol. 30, 709-716 (1993)
- F. Miyaji and S. Sakka, "Structure of PbO -Bi<sub>2</sub>O<sub>3</sub> - Ga<sub>2</sub>O<sub>3</sub> glasses", J. Non-Cryst. Solids, 134, 77-85 (1991)
- J. C. Lapp and J. E. Shelby, "Viscosity and Thermal Expansion of Sodium and Potassium Galliosilicate Glasses", J. Am. Ceram. Soc., 69[2] 126-131 (1986)
- J. E. Shelby, "Formation and Properties of Calcium Aluminosilicate Glasses", J. Am. Ceram. Soc., 68[3], pp. 155-158, (1985)
- 李明道, 姜元浩, "The Study on thermal and optical properties of multicompont oxide glass for glass fiber sensor", 檢國大學校 論文集 第 29輯, pp.261 - 271(1995)
- P. L. Higby, J. E. Shelby & R. A. Condrate, "Infrared spectra of alkali galliosilicate and alumino silicate glasses", Phys. Chem. Glasses, 28[3],115-120 (1987)
- W. H. Dumbaugh and J. C. Lapp, "Heavy Metal Oxide Glasses", J. Am.Ceram. Soc., 75(9), 2315-2326 (1992)

Table 1. Chemical composition of core glasses.  
(wt %)

	SiO <sub>2</sub>	PbO	K <sub>2</sub> O	Al <sub>2</sub> O <sub>3</sub>	Additives Ga <sub>2</sub> O <sub>3</sub>
G-1	45	45	5	5	-
G-2	45	45	5	5	4
G-3	45	45	5	5	8
G-4	45	45	5	5	12
G-5	45	45	5	5	16
G-6	45	45	5	5	20

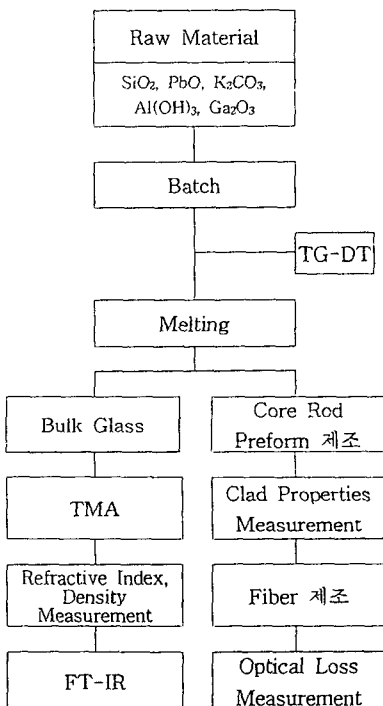


Fig. 1. Flow diagram of experimental procedure

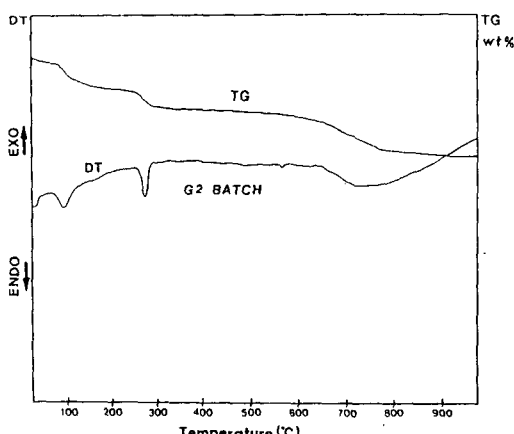


Fig. 2 TG-DT curve 4wt% Ga<sub>2</sub>O<sub>3</sub> batch

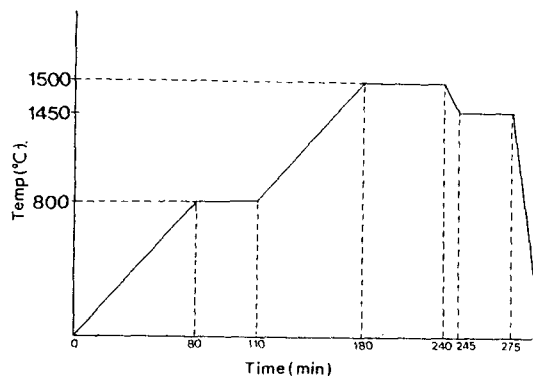


Fig. 3. Schedule of melting

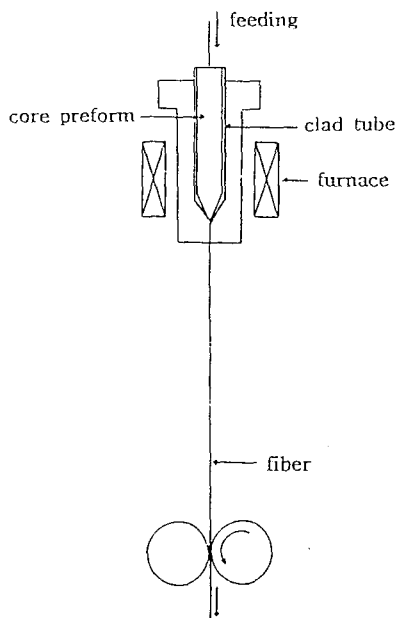


Fig. 4. Schematic diagram of drawing machine

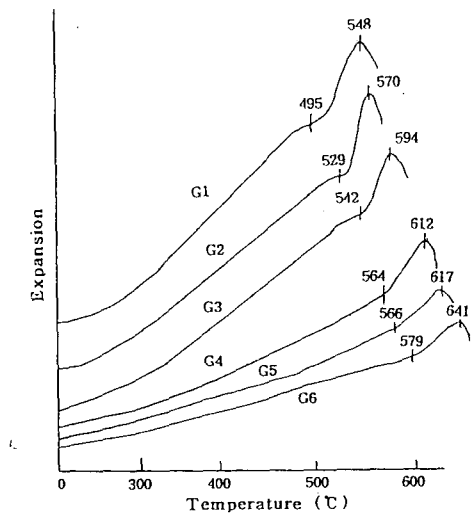


Fig. 5. TMA curve of glasses by adding  $\text{Ga}_2\text{O}_3$

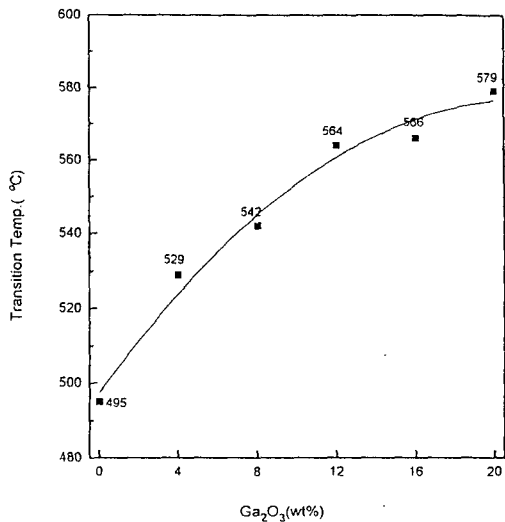


Fig. 6. Effect by adding  $\text{Ga}_2\text{O}_3$  on transition temperature

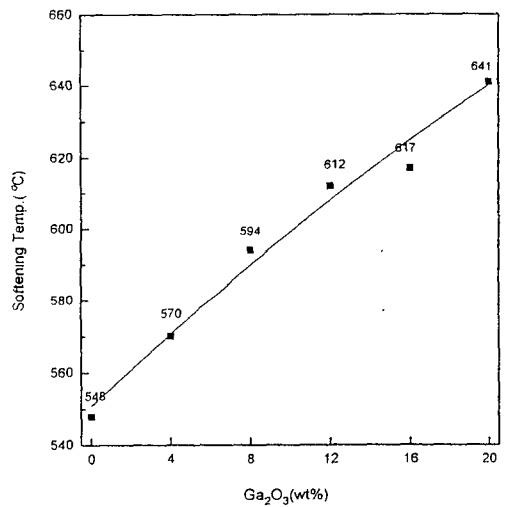
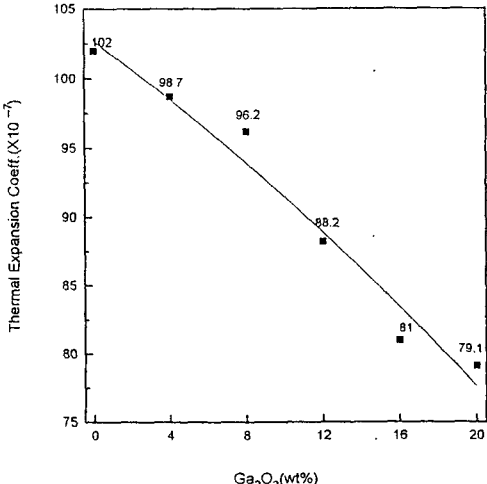


Fig. 7. Effect by adding  $\text{Ga}_2\text{O}_3$  on softening temperature



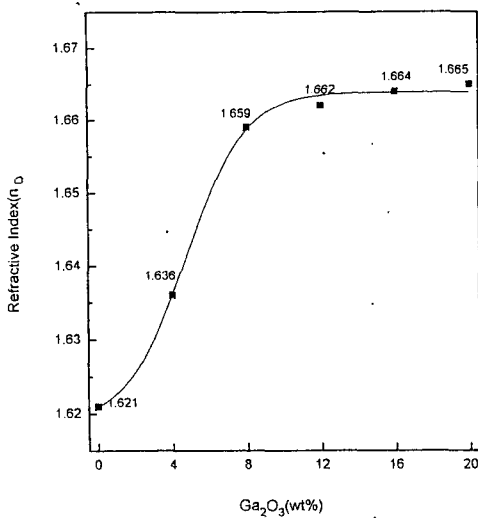


Fig. 9. Effect by adding  $\text{Ga}_2\text{O}_3$  on refractive index

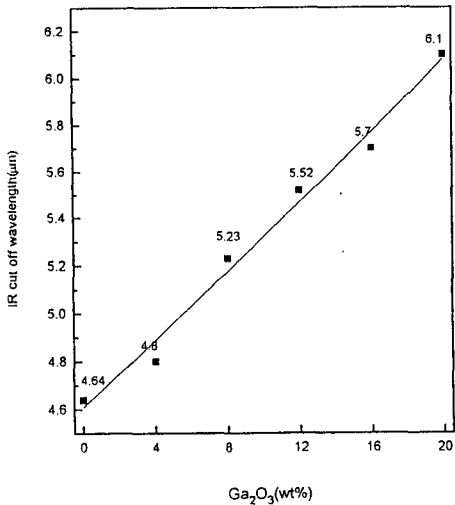


Fig. 12. Effect by adding  $\text{Ga}_2\text{O}_3$  on IR cut off wavelength

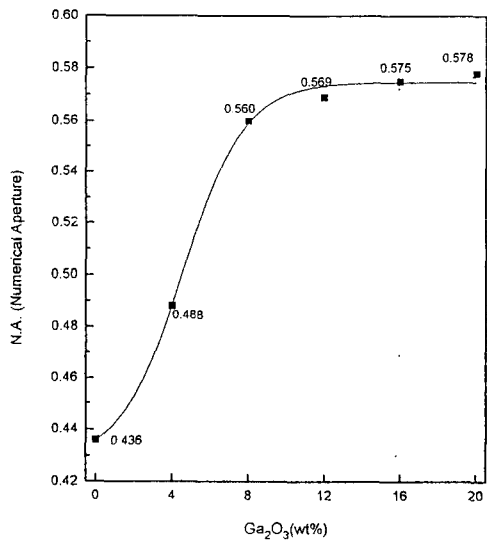


Fig. 10. Effect by adding  $\text{Ga}_2\text{O}_3$  on numerical aperture

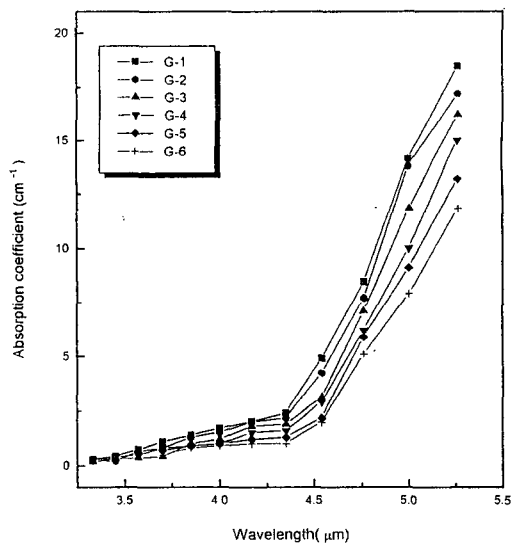


Fig. 13. Infrared absorption coefficient of  $\text{Ga}_2\text{O}_3$  added glasses

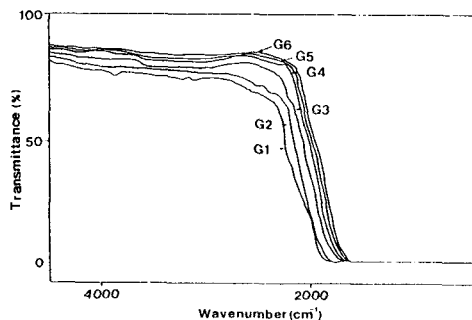


Fig. 11. Infrared spectrum of the glasses by adding  $\text{Ga}_2\text{O}_3$

Table 2. Composition & properties of Pb glass tube (Clad).

Composition (wt%)	SiO <sub>2</sub>	50
	PbO	30
	Na <sub>2</sub> O	10
	K <sub>2</sub> O	5
	Al <sub>2</sub> O <sub>3</sub>	5
Properties	Softening temp.(°C)	615
	Thermal expansion coeff( $\times 10^{-7}$ )	94
	Refractive index	1.5614

Table 3. Fiber diameter according to temperature and speed of drawing.

Temperature(°C)	Speed(m/min.)	Diameter(μm)
800	1.6	240-270
	2.5	220-210
	3.0	180-200
820	1.6	210-225
	2.5	125-135
	3.0	60-90



Photo. 1. Polarizing microscope photograph of glass fiber

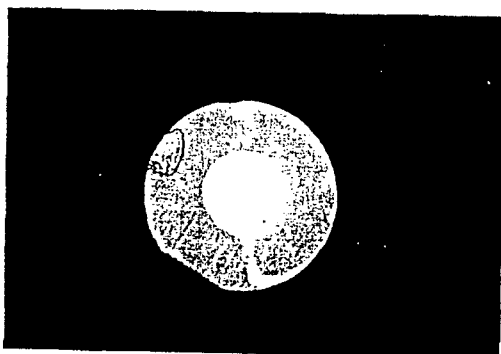


Photo. 2. Polarizing microscope photograph of cross-section of glass fiber

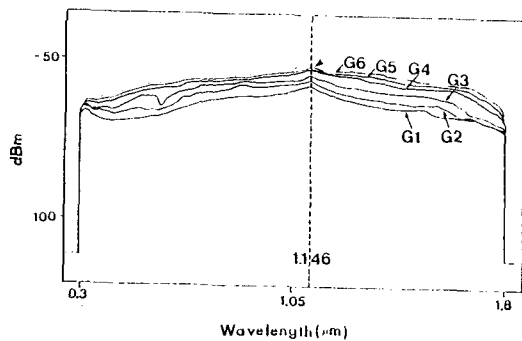


Fig. 14. Effect by adding Ga<sub>2</sub>O<sub>3</sub> on optical loss

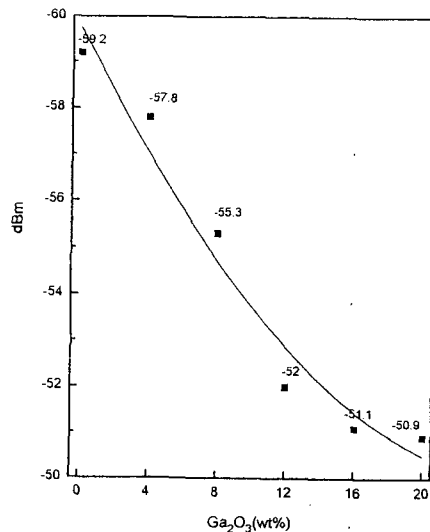


Fig. 15. Effect by adding Ga<sub>2</sub>O<sub>3</sub> on dBm at 1.146 μm

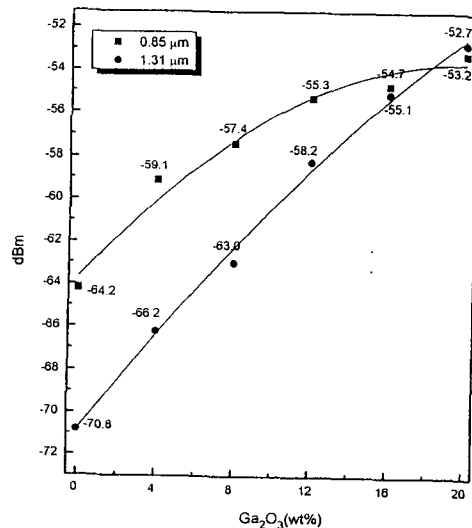


Fig. 16. dBm variation according to Ga<sub>2</sub>O<sub>3</sub> additives at special wavelength